

(/)



搜索



课程中心 (/courselist)

公开课 (/open/course/exp



学习时长

八周
建议每周至少六
小时



答疑服务

专属微信答疑群
讲师助教均参与



作业批改

每章节设计作业
助教及时批改评
优



课程奖学金

1万元YOGO
Robot奖学金

[返回讨论区 \(/course/188/threads/show\)](/course/188/threads/show) / 话题

第六章作业讲评及Xilin学员优秀作业展示



(/user/47491)

By 朱江超 (/user/47491) • 12-27 • 271次浏览



Lecture 6

Soft and Hard Constrained Trajectory Optimization 作业讲解

主讲人 朱江超



homework

In matlab, write a corridor-constrained piecewise Bezier curve generation.

The conversion between Bezier to monomial polynomial is given.

The corridor is pre-defined.

Only position needs to be constrained.



hw5 vs hw6

Define higher order (l^{th}) control points:

$$a_{\mu j}^{0,i} = c_{\mu j}^i, a_{\mu j}^{l,i} = \frac{n!}{(n-l)!} \cdot (a_{\mu j}^{l-1,i+1} - a_{\mu j}^{l-1,i}), \quad l \geq 1$$

- Boundary Constraints:

$$a_{\mu j}^{l,0} \cdot s_j^{(1-l)} = d_{\mu j}^{(l)}$$

- Continuity Constraints:

$$a_{\mu j}^{\phi,n} \cdot s_j^{(1-\phi)} = a_{\mu,j+1}^{\phi,0} \cdot s_{j+1}^{(1-\phi)}, \quad a_{\mu j}^{0,i} = c_{\mu j}^i.$$

- Safety Constraints:

$$\beta_{\mu j}^- \leq c_{\mu j}^i \leq \beta_{\mu j}^+, \quad \mu \in \{x, y, z\}, \quad i = 0, 1, 2, \dots, n.$$

- Dynamical Feasibility Constraints:

$$\begin{aligned} v_m^- &\leq n \cdot (c_{\mu j}^i - c_{\mu j}^{i-1}) \leq v_m^+, \\ a_m^- &\leq n \cdot (n-1) \cdot (c_{\mu j}^i - 2c_{\mu j}^{i-1} + c_{\mu j}^{i-2})/s_j \leq a_m^+ \end{aligned}$$

Stack all of these

min $\mathbf{c}^T \mathbf{Q}_o \mathbf{c}$

s.t.

$$\mathbf{A}_{eq} \mathbf{c} = \mathbf{b}_{eq},$$

$$\mathbf{A}_{ie} \mathbf{c} \leq \mathbf{b}_{ie},$$

$$\mathbf{c}_j \in \Omega_j, \quad j = 1, 2, \dots, m,$$

A typical convex QP formulation.

We only solve this program once to determine whether there is a qualified trajectory exists.



about si

$$f_{\mu}(t) = \begin{cases} s_1 \cdot \sum_{i=0}^n c_{\mu 1}^i b_n^i \left(\frac{t-T_0}{s_1} \right), & t \in [T_0, T_1] \\ s_2 \cdot \sum_{i=0}^n c_{\mu 2}^i b_n^i \left(\frac{t-T_1}{s_2} \right), & t \in [T_1, T_2] \\ \vdots & \vdots \\ s_m \cdot \sum_{i=0}^n c_{\mu m}^i b_n^i \left(\frac{t-T_{m-1}}{s_m} \right), & t \in [T_{m-1}, T_m], \end{cases} \quad (5)$$

$$a_{\mu j}^{l,0} \cdot s_j^{(1-l)} = d_{\mu j}^{(l)}, \quad \begin{cases} \text{position constraint: } l = 0, a_{\mu j}^{0,0} \cdot s_j = p_{\mu j} \\ \text{velocity constraint: } l = 1, a_{\mu j}^{1,0} = v_{\mu j} \\ \text{accelerate constraint: } l = 2, \frac{a_{\mu j}^{2,0}}{s_j} = a_{\mu j} \end{cases}$$

getAbeq()

导数约束：只对起始点和终止点pva(j)施加——和作业5相比少了中间点位置约束
连续性约束：对于中间点施加

```
#####
% Boundary constraints in start point
Aeq_start = zeros(d_order, n_all_poly);
for k = 0:d_order-1
    Aeq_start(k+1, 1:k+1) = ...
        factorial(n_order)/factorial(n_order-k)*...
        YangHTriangle(k+1)*ts(1)^(1-k);
end
beq_start = start_cond';

#####
% Boundary constraints in end point
Aeq_end = zeros(d_order, n_all_poly);
for k = 0:d_order-1
    Aeq_end(k+1, n_all_poly-k:n_all_poly) = ...
        factorial(n_order)/factorial(n_order-k)*...
        YangHTriangle(k+1)*ts(n_seg)^(1-k);
end
beq_end = end_cond';
```

```
#####
% p, v, a, j continuity constrain between each 2 segments
Aeq_con = zeros((n_seg-1)*d_order, n_all_poly);
beq_con = zeros((n_seg-1)*d_order, 1);
for k = 0:d_order-1
    start_idx_1 = k*(n_seg-1);
    for j = 0:n_seg-2
        start_idx_2 = (n_order+1)*(j+1);
        Aeq_con(start_idx_1+j+1, start_idx_2-k:start_idx_2) = ...
            factorial(n_order)/factorial(n_order-k)*...
            YangHTriangle(k+1)*ts(j+1)^(1-k);
        Aeq_con(start_idx_1+j+1, start_idx_2+1:start_idx_2+1+k) = ...
            -factorial(n_order)/factorial(n_order-k)*...
            YangHTriangle(k+1)*ts(j+2)^(1-k);
    end
end
beq_con = end_cond';
```

getAbieq()

位置约束： $2*n_seg*(n_order+1)$
速度约束： $2*n_seg*n_order$
加速度约束： $2*n_seg*(n_order-1)$

```
constraint_range = zeros(n_seg, 2*d_order);
for j = 0:n_seg-1
    constraint_range(j+1,:) = [corridor(j+1, axis)+corridor(j+1, 2+axis), ...
        -(corridor(j+1, axis)-corridor(j+1, 2+axis)), ...
        v_max, v_max, a_max, a_max, j_max, j_max];
end
[Abieq, bieq] = getAbieq(n_seg, d_order, constraint_range, ts);
```

```
function [Abieq, bieq] = getAbieq(n_seg, d_order, constraint_range, ts)
    n_order = 2*n_order-1;
    n_all_poly = n_seg*2*d_order;
    Abieq = zeros(2*n_seg*d_order*(n_order+1-(d_order-1)/2), n_all_poly);
    bieq = zeros(2*n_seg*d_order*(n_order+1-(d_order-1)/2), 1);

    #####
    % p, v, a, j
    for j = 0:n_seg-1
        for k = 0:d_order-1
            start_idx_1 = 2*n_seg*k*(n_order+1-(k-1)/2)+2*j*(1+n_order-k);
            start_idx_2 = (n_order+1)*j;
            for i = 0:n_order-k
                Abieq(start_idx_1+2*i+1:start_idx_1+2*i+2, start_idx_2+1:start_idx_2+1+k) = ...
                    [YangHTriangle(k+1)*factorial(n_order)/factorial(n_order-k)*ts(j+1)^(1-k);
                    -YangHTriangle(k+1)*factorial(n_order)/factorial(n_order-k)*ts(j+1)^(1-k)];
                bieq(start_idx_1+2*i+1:start_idx_1+2*i+2, 1) = constraint_range(j+1, 2*k+1:2*k+2)';
            end
        end
    end
end
```

运动规划第六章作业

1、基于 Bezier 曲线 MinimumSnapTrajectory 问题。

首先 Bezier 曲线由如下公式表示：

$$\mathbf{B}_j(t) = c_j^0 b_n^0(t) + c_j^1 b_n^1(t) + \dots + c_j^n b_n^n(t) = \sum_{i=0}^n c_j^i b_n^i(t) \quad (1-1)$$

其中

$$b_n^i(t) = \binom{n}{i} \cdot t^i \cdot (1-t)^{n-i} \quad (1-2)$$

观察式 (1-1)，我们可以发现 Bezier 曲线由控制点 c_j^i 以及对应的权重函数 b_n^i (也称 Bernstein polynomial basis) 组成。对于 $\mu \in \{x, y, z\}$ 三个轴，我们将每个对应坐标轴上表示为由多段 Bezier 曲线构成的轨迹，如下所示：

$$f_\mu(t) = \begin{cases} s_1 \cdot \sum_{i=0}^n c_{\mu 1}^i b_n^i\left(\frac{t-T_0}{s_1}\right), & t \in [T_0, T_1] \\ s_2 \cdot \sum_{i=0}^n c_{\mu 2}^i b_n^i\left(\frac{t-T_1}{s_2}\right), & t \in [T_1, T_2] \\ \dots \\ s_m \cdot \sum_{i=0}^n c_{\mu m}^i b_n^i\left(\frac{t-T_{m-1}}{s_m}\right), & t \in [T_{m-1}, T_m] \end{cases} \quad (1-3)$$

每段 Bezier 曲线对应不同的时间分配，考虑到 Bezier 曲线的特性，上述式 (1-3) 将 $t = [T_{i-1}, T_i]$ 映射到 $\tau = [0, 1]$ (也称归一化)，这个映射关系如下所示：

$$\frac{t-T_{j-1}}{s_j} = \tau \quad (1-4)$$

同时为了保证数值优化的稳定性 (这个目前还不知道怎么解释数值稳定性问题) 在每段 Bezier 曲线上都乘以一个标量系数 s_m 。接着我们以式 (1-3) 为基础构建 MinimumSnapTrajectory 问题，其目标函数如下所示：

$$J = \sum_{\mu \in \{x, y, z\}} \int_0^T \left(\frac{d^k f_\mu(t)}{dt^k} \right)^2 dt \quad (1-4)$$

这里以 u 轴上第 j 段 Bezier 曲线举例：

$$J_{uj} = \int_0^{s_j} \left(\frac{d^k f_{uj}(t)}{dt^k} \right)^2 dt \quad (1-5)$$

从而得到以下式子

$$J_{uj} = \int_0^1 s_j \left(\frac{d^k g_{uj}(\tau)}{d(s_j \tau)^k} \right)^2 d\tau = \frac{1}{s_j^{2k-3}} \int_0^1 \left(\frac{d^k g_{uj}(\tau)}{d\tau^k} \right)^2 d\tau \quad (1-6)$$

对比基于传统多项式 MinimumSnapTrajectory 问题，基于 Bezier 曲线 MinimumSnapTrajectory 的目标函数表达式相对复杂，不利于构建形如 $J = \mathbf{p}^T \mathbf{Q} \mathbf{p}$ 二次函数形式。为此我们通过传统多项式系数 \mathbf{p} 与 Bezier 曲线系数 \mathbf{c} 的线性转换关系式，将基于 Bezier 曲线 MinimumSnapTrajectory 的目标函数转换成 $J = \mathbf{c}^T \mathbf{M}^T \mathbf{Q} \mathbf{M} \mathbf{c}$ 。以下针对阶数为 3 的 Bezier 曲线如何转换成传统多项式曲线进行推导：

$$\mathbf{B}(t) = (1-t)^3 c_0 + 3t(1-t)^2 c_1 + 3t^2(1-t)c_2 + t^3 c_3 \quad (1-7)$$

由式 (1-7) 可得：

$$\mathbf{B}(t) = \begin{bmatrix} 1 & -3 & 3 & -1 \\ 0 & 3 & -6 & 3 \\ 0 & 0 & 3 & -3 \\ 0 & 0 & 0 & 1 \end{bmatrix} \begin{bmatrix} 1 \\ t \\ t^2 \\ t^3 \end{bmatrix} \quad (1-8)$$

$$\mathbf{B}(t) = [c_0 \quad c_1 \quad c_2 \quad c_3] \begin{bmatrix} 1 & -3 & 3 & -1 \\ 0 & 3 & -6 & 3 \\ 0 & 0 & 3 & -3 \\ 0 & 0 & 0 & 1 \end{bmatrix} \begin{bmatrix} 1 \\ t \\ t^2 \\ t^3 \end{bmatrix} = [p_0 \quad p_1 \quad p_2 \quad p_3] \begin{bmatrix} 1 \\ t \\ t^2 \\ t^3 \end{bmatrix} \quad (1-9)$$

由式 (1-9) 可得

$$\mathbf{c}^T \mathbf{M}^T = \mathbf{p}^T \quad (1-10)$$

$$\mathbf{M}^T = \begin{bmatrix} 1 & -3 & 3 & -1 \\ 0 & 3 & -6 & 3 \\ 0 & 0 & 3 & -3 \\ 0 & 0 & 0 & 1 \end{bmatrix} \quad (1-11)$$

因此基于 Bezier 曲线 MinimumSnapTrajectory 的归一化目标函数为:

$$J = \mathbf{a}^T \mathbf{s}^T \mathbf{M}^T \mathbf{Q} \mathbf{M} \mathbf{s} \mathbf{a} \quad (1-12)$$

其中 \mathbf{a} 为归一化 Bezier 曲线的控制点。

接下来构建相关约束, 基于 Bezier 曲线 MinimumSnapTrajectory 问题主要包含固定等式约束, 连续性等式约束、安全性不等式约束以及动力学不等式约束。

固定等式约束主要包含起点 Start、终点 Goal 的 $p, v, a, jerk$ 等约束, 通常表示成下列形式:

$$a_{uj}^{l,i} \cdot s_j^{1-l} = d_{uj}^{(l)} \quad (1-13)$$

$$a_{uj}^{l,i} = \frac{n!}{(n-l)!} (a_{uj}^{l-1,i+1} - a_{uj}^{l-1,i}) \quad (1-14)$$

连续性等式约束主要包含两端 Bezier 曲线连接处保证 $p, v, a, jerk$ 连续, 通常表示成下列形式:

$$a_{uj}^{l,n} \cdot s_j^{1-l} = a_{uj+1}^{l,0} \cdot s_{j+1}^{1-l} \quad (1-15)$$

安全性约束主要通过约束 Bezier 曲线上所有控制点在事先分析周围环境所生成的飞行 Corridor 内, 由于 Bezier 曲线的凸包特性, 从而使得整段 Bezier 曲线都是出于安全的区域。通常安全性约束表示成下列形式:

$$\beta_{uj}^- \leq a_{uj}^{0,i} \cdot s_j \leq \beta_{uj}^+ \quad (1-16)$$

动力学约束主要针对无人机的物理运动极限, 通常表示成下列形式:

$$v_m^- \leq a_{uj}^{1,i} \leq v_m^+ \quad (1-17)$$

$$a_m^- \leq a_{uj}^{2,i} \cdot s_j^{-1} \leq a_m^+ \quad (1-18)$$

以下将简要展示不同时间分配的仿真结果:

1、五段轨迹时间分配为[1s,1s,1s,1s,1s]

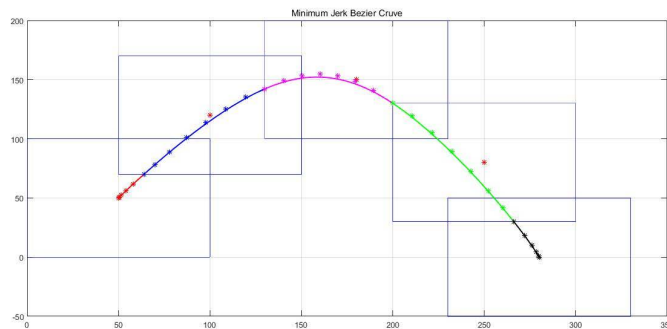


图 1 Minimum Jerk Trajectory

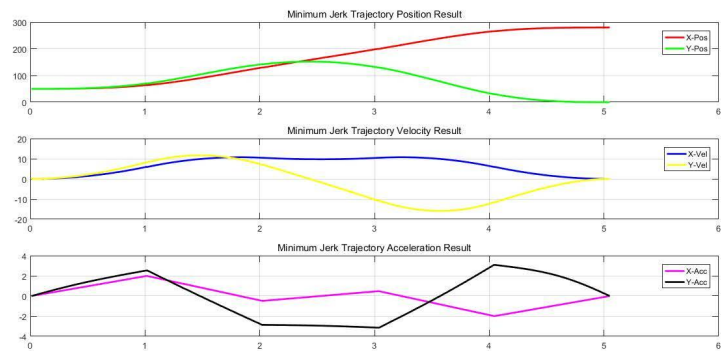


图 2 Minimum Jerk Trajectory 位置、速度、加速度结果

2、五段轨迹时间分配为[1s,3s,2s,4s,1s]

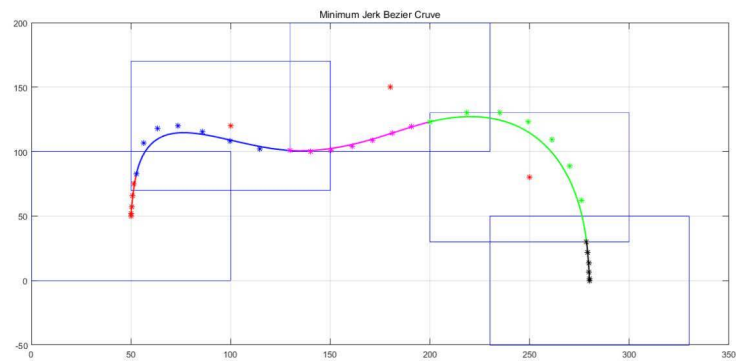


图 3 Minimum Jerk Trajectory

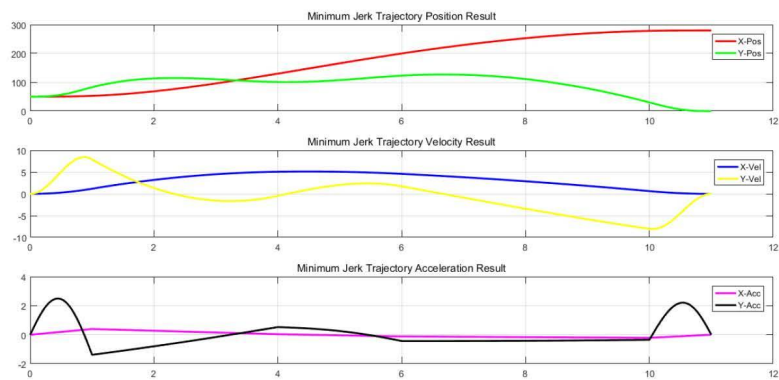


图 4 Minimum Jerk Trajectory 位置、速度、加速度结果

3、五段轨迹时间分配为[3s,1s,1s,1s,3s]

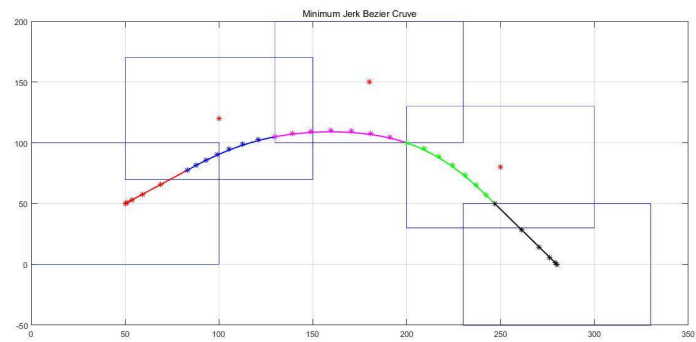


图 5 Minimum Jerk Trajectory

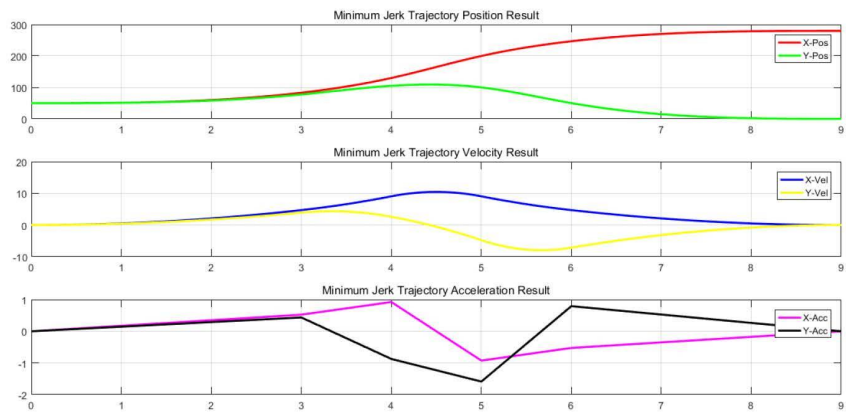


图 6 Minimum Jerk Trajectory 位置、速度、加速度结果

总结：对比三个实验结果，我们可以发现时间分配的问题更像是权重分配问题，分配的时间越多，等价于在归一化的 Minimum Jerk Trajectory 目标函数 $J = \mathbf{a}^T \mathbf{s}^T \mathbf{M}^T \mathbf{Q} \mathbf{M} \mathbf{s} \mathbf{a}$ 中所占的比重越大，意味着在这段时间内轨迹所产生的 Cost 必须要越小。我们也能够从图 4、图 6 我们能够发现，时间分配多的轨迹，加速度变化率（Jerk）小，而时间分配少的轨迹，加速度变化率大，符合上述理论推导的结果。



(/user/38599) rabbit5024 • 01-01

麻烦问下参考程序里的**d_order**是多少?

回复



(/user/38599) rabbit5024 • 01-02

还有再请教一下不等式约束矩阵初始化时(GetAbieq()):

`Aieq = zeros(2*n_seg*d_order*(n_order+1-(d_order-1)/2),n_all_poly);`
'`2*n_seg*d_order*(n_order+1-(d_order-1)/2)`' 这个表达式是什么意思?

回复



(/user/47491) 朱江超 • 01-02

4

回复



(/user/47491) 朱江超 • 01-02

@rabbit5024 (/user/38599) 所有的不等式约束个数

回复

+ 添加回复

▼

源码

添加回复

©2020 深蓝学院 (/)

课程内容版权均归 北京深蓝前沿科技有限公司所有 |



京ICP备14013810号-6 (<http://www.beian.miit.gov.cn>)